

# III-150 ボルトレスセグメントによるリング構造の理論解析と実験的考察

日本電信電話公社 茨城電気通信研究所 正員 伊藤和五郎  
同上 正員 ○村上司

## 1. まえがき

一般にシールド工法においてセグメントは、ボルト接続によって組立てられており、組立て作業には、多くの人手と時間を要しているのが現状である。とくに、電話ケーブル40条以下を収容するような小断面（内径D=1500mm以下）の場合、従来の人力を中心としてボルト接続するセグメントでは、組立てが困難となり、新たに、遠隔操作による自動組立てが可能な“さし込み型継手方式のボルトレスセグメント”を使用することが考えられる。この場合、セグメントの各ピースは単にさし込むだけであり、組立て後のセグメントリングは継手部において、半剛性ヒンジを有する構造物としての挙動をなし、解析にあたっては一考を要す。本報告は、ボルトレスセグメントのリング強度について、理論解析および載荷実験を行ない、比較検討を加えたものである。なお、セグメントリングの分割数としては、3分割方式が力学的に静定であり、最も理想的であるが、実際にはセグメントの厚さがあつて搬入の面で不可能であり、4分割とした。

## 2. 理論解析法

セグメントリング構造体を解析するにあたっては、下記のとおりの仮定を設け、マトリックス法により行なう。

- i) セグメントリングを微小要素よりなる骨組構造と考え、継手部（ピース継手やセグメント継手）を回転バネ（バネ定数K<sub>θ</sub>）と仮定し、継手部の長さは無視する。
- ii) セグメントリングの変位と周辺地盤による反力との間には、Winklerの仮定が成り立つものとする。ただし、半径方向成分のみを考慮し、接線方向成分は無視する。

## 3. セグメントリング載荷実験

セグメントリングの力学的性状および安全性を確認するため、図-2、図-3に示すような単リングおよび千鳥組による3リングの載荷実験を行なった。なお、図-1はピース継手の形状を示したものである。また、セグメントの主軸断面性能は次のとおりである。断面二次モーメント=256.9cm<sup>4</sup>、断面積=33.9cm<sup>2</sup>、図心半径=544mm、ヤング率=2.1×10<sup>6</sup>kg/cm<sup>2</sup>、内径=1000mm<sup>Φ</sup>、主げた高=75mm

## 4. 結果の比較検討

(1) 単リング：継手2方向載荷実験（図-2(2)）の結果（クラウンたわみ）を図-4に示すように理論値と比較することにより、回転バネ定数K<sub>θ</sub>を求め、以下この値をピース継手の回転バネ定数として計算する。また、図-5は、図-2(1)にP=1.5t載荷したときの曲げモーメント図である。理論値と実験値はほぼ一致しており、今

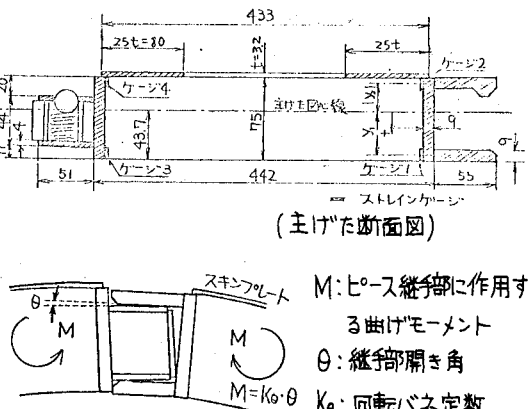


図-1 ボルトレスセグメント継手部形状

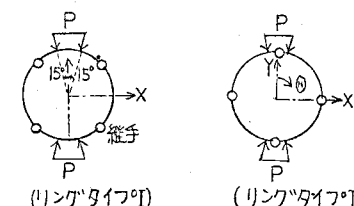
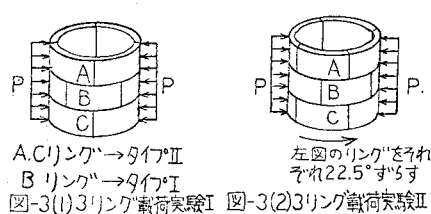


図-2(1)単リング載荷実験Ⅰ 図-2(2)単リング載荷実験Ⅱ



回の解析法の妥当性が言えるものと思う。(2)3リング: 3リングを千鳥状に組立て(2リング/サイクル)、図-3に示すように各方向より載荷した場合の荷重へたわみの量を求め、リング剛性を比較したものが図-6である。また、図-3(1)の載荷状態における各リングに発生する曲げモーメントを図-7に示す。図中の理論値とは、各リングの節点の変位が等しいものと仮定して計算した場合の中央のBリング(タイプI)の曲げモーメントを表わしたものである。以上より下記の事項が考察できる。i)図-3(1)の場合、剛性の高いタイプIリングのみの荷重分担率が高く、千鳥組による添接効果は小さい。ii)図-3(2)の場合、各リングの荷重分担率は均等となるが、剛性は低下する。iii)以上の現象はリング総手のクリアランスと4分割の特殊性のためであり、設計計算にあたっては各リングタイプ別に行なつた方がよい。(3)地盤反力の影響: 図-8の等分布荷重がセグメントリングに作用した場合の地盤反力が断面力等に及ぼす影響について計算し、グラフ化したものが図-9である。この図より地盤反力係数 $\gamma$ の変化に伴ないリングたわみ、曲げモーメントは大きく影響を受け、 $\gamma$ の設定にとくに注意を要す。また、許容たわみ量を $S_a = D/100$ とすると、地盤反力係数が $\gamma > 1.0 \text{ kg/cm}^3$ 以上の場合は多ヒンジとして設計施工できる。

## 5. 参考文献

- i)三北亮次村上司「任意形状部材の平衡および剛性マトリックスの誘導」本会第26回年次学術講演会概要集
- ii)村上博智「セグメントリングの耐荷機構について」第28回講演会概要集  $P = 10.3t/m^2$

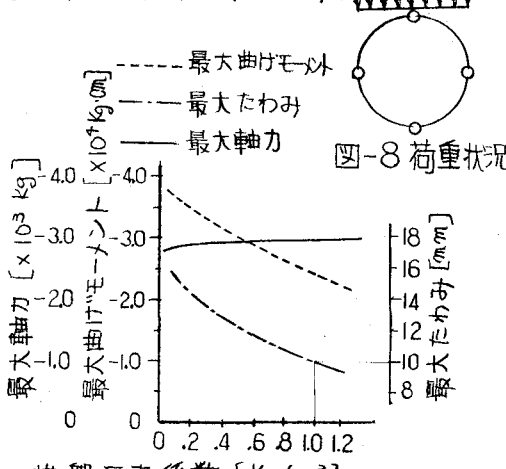


図-8 荷重状況

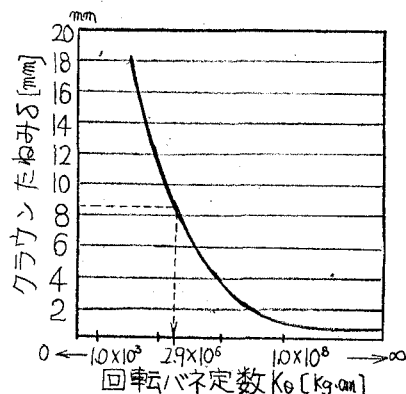


図-4  $K_0$ - $S$ 曲線(単リングII, 2t 載荷)

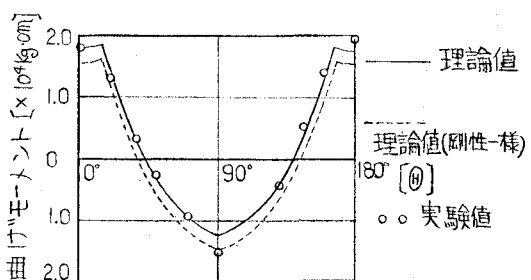


図-5 曲げモーメント図(単リングI, 1.5t 載荷)

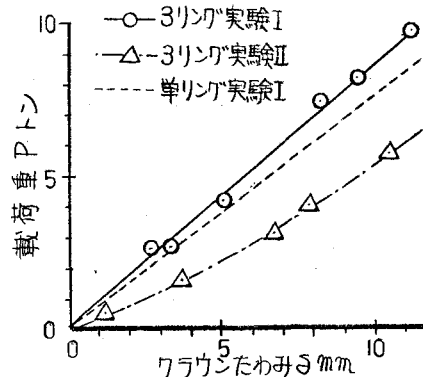


図-6 荷重-たわみ曲線

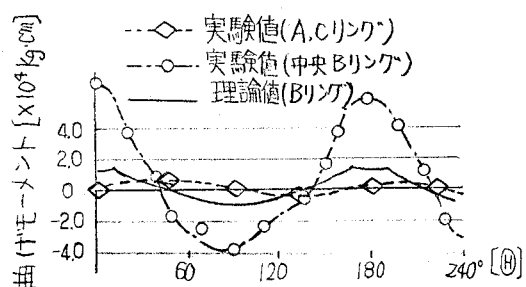


図-7 曲げモーメント図(千鳥組I, 4t 載荷)